

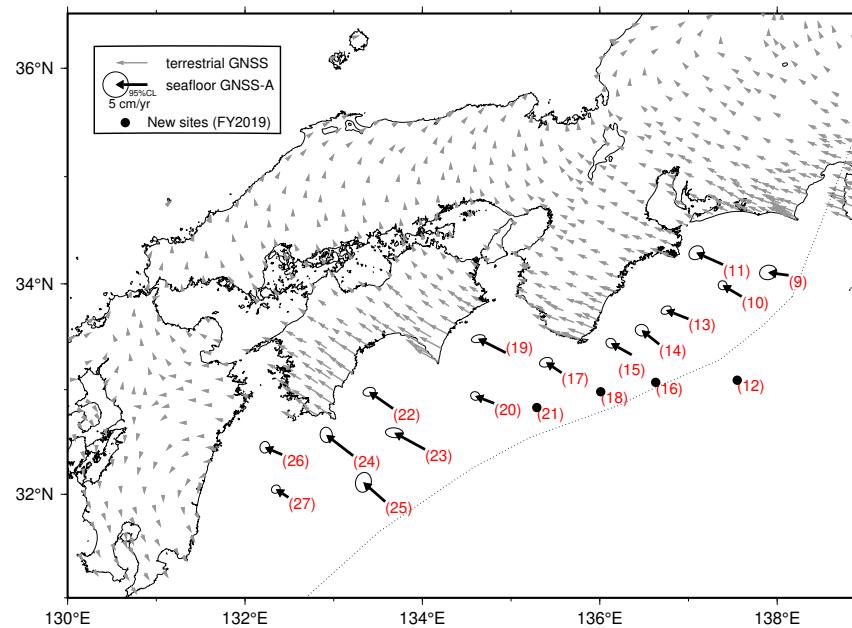
8-5 南海トラフ沿いの海底地殻変動観測結果

Seafloor movements along the Nankai Trough observed by seafloor geodetic observations

海上保安庁
Japan Coast Guard

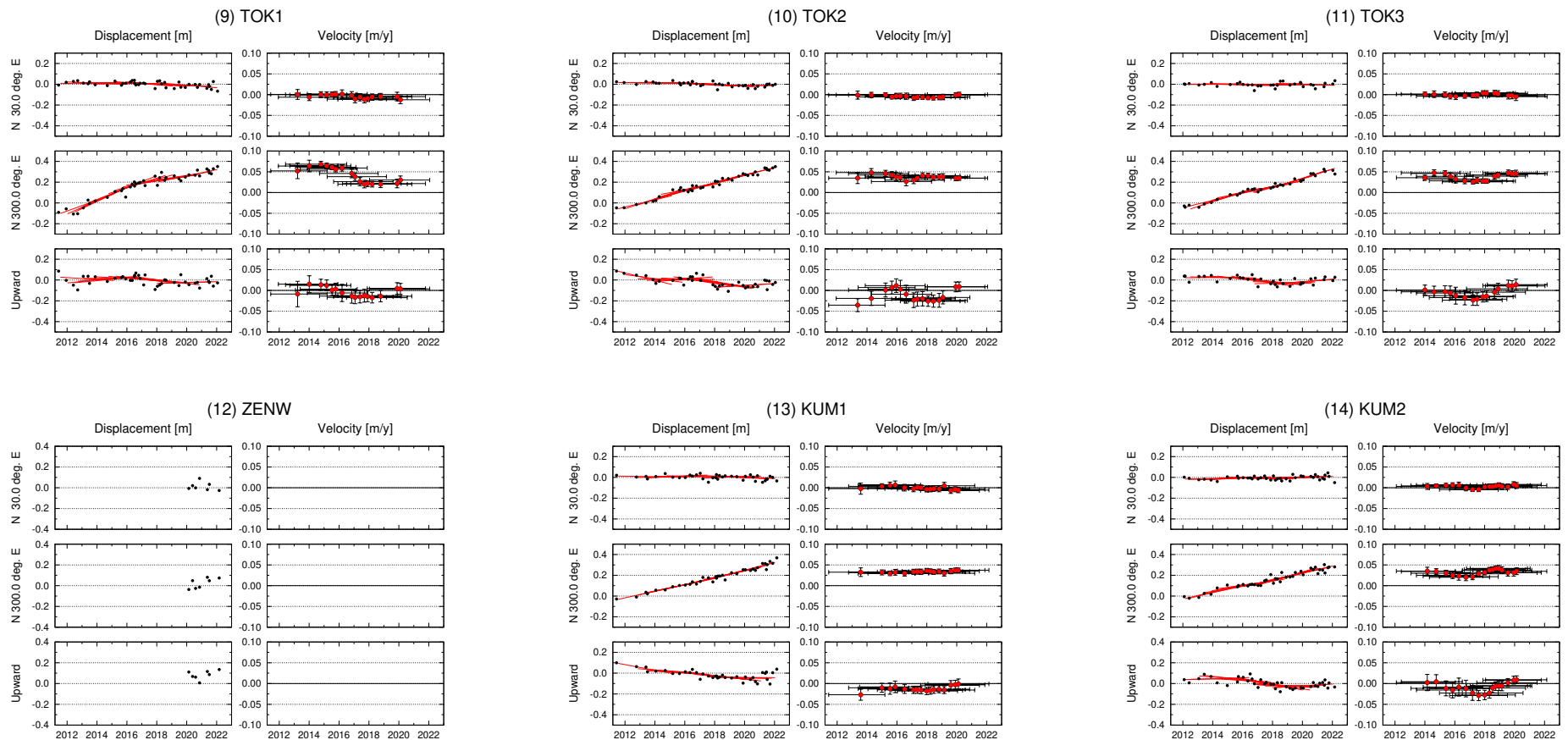
海上保安庁では、南海トラフ巨大地震の想定震源域近傍での固着状態ならびに地殻変動を把握するため、南海トラフ沿いにおいて、海底地殻変動観測を実施している。第 1 図に、最近約 4 年間の観測結果を示す。海底の移動速度は、観測結果をロバスト回帰したものである。陸上の移動速度は国土地理院 GEONET の同一期間の F5 解を線形回帰したものである。第 2 図には、変位及び変位速度（4.1 年の移動時間窓でのロバスト回帰）の時系列を示す。

Site name	Lat. (°N)	Lon. (°E)	Velocity (cm/yr) (deg)		Period	Data
(9) TOK1	34.08	138.13	3.2	277.9	01/15/2018 - 01/23/2022	19
(10) TOK2	33.88	137.60	3.5	300.7	01/15/2018 - 01/22/2022	19
(11) TOK3	34.18	137.39	4.6	294.0	03/06/2018 - 03/04/2022	16
(12) ZENW	33.09	137.55	-	-	02/20/2020 - 03/04/2022	7
(13) KUM1	33.67	137.00	3.8	291.5	01/27/2018 - 02/24/2022	21
(14) KUM2	33.43	136.67	3.5	308.9	01/21/2018 - 02/24/2022	22
(15) KUM3	33.33	136.36	3.7	299.3	01/21/2018 - 02/24/2022	22
(16) KUM4	33.08	136.64	-	-	02/21/2020 - 03/03/2022	9
(17) SIOW	33.16	135.57	3.0	303.9	02/14/2018 - 02/25/2022	22
(18) SIO2	32.98	135.99	-	-	03/18/2020 - 01/15/2022	9
(19) MRT1	33.35	134.94	4.9	297.0	02/15/2018 - 01/16/2022	20
(20) MRT2	32.87	134.81	3.2	291.0	01/26/2018 - 02/26/2022	25
(21) MRT3	32.80	135.35	-	-	08/10/2019 - 02/25/2022	12
(22) TOS1	32.82	133.67	4.6	305.2	03/10/2018 - 03/02/2022	18
(23) TOS2	32.43	134.03	5.5	298.6	01/25/2018 - 02/26/2022	18
(24) ASZ1	32.37	133.22	5.4	307.8	02/15/2018 - 01/20/2022	18
(25) ASZ2	31.93	133.58	4.6	311.6	01/24/2018 - 01/21/2022	16
(26) HYG1	32.38	132.42	3.0	293.0	02/16/2018 - 01/19/2022	18
(27) HYG2	31.97	132.49	2.4	303.1	02/16/2018 - 01/20/2022	20
GEONET					03/04/2018 - 03/04/2022	



第 1 図 南海トラフ沿いの海底の水平地殻変動（直近約 4 年間の移動速度）【アムールプレート固定】。

Fig. 1 Horizontal seafloor crustal movements along the Nankai Trough in recent 4 years with respect to the stable part of the Amur plate.



第 2 図 GNSS-A 観測時系列【アムールプレート固定】.

※各図の右列は、4.1 年の時間窓による回帰直線から求めた変動速度.

※縦のバーは速度推定の 95% 信頼区間、横のバーは速度推定のデータ期間.

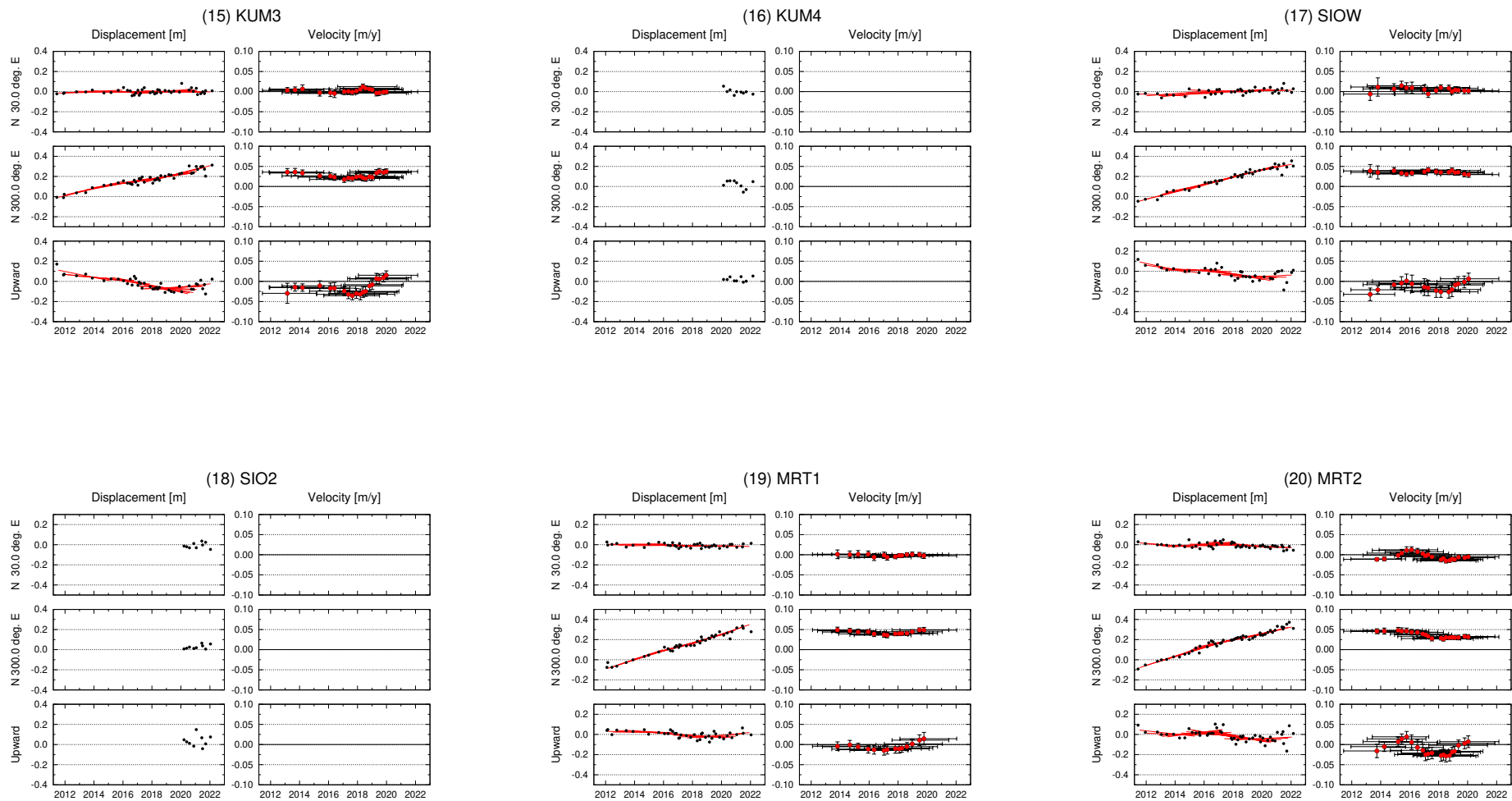
※水平成分の座標軸は北から時計回りに 300° 回転.

Fig. 2 GNSS-A time series data with respect to the stable part of the Amur plate.

※ Plots on the right columns indicate velocities, derived by linear regression using a 4.1 year rolling time window.

※ The vertical bars indicate 95% confidence intervals, the horizontal bars indicate data periods for estimating the velocities.

※ The horizontal axes are rotated 300° clockwise from the north.



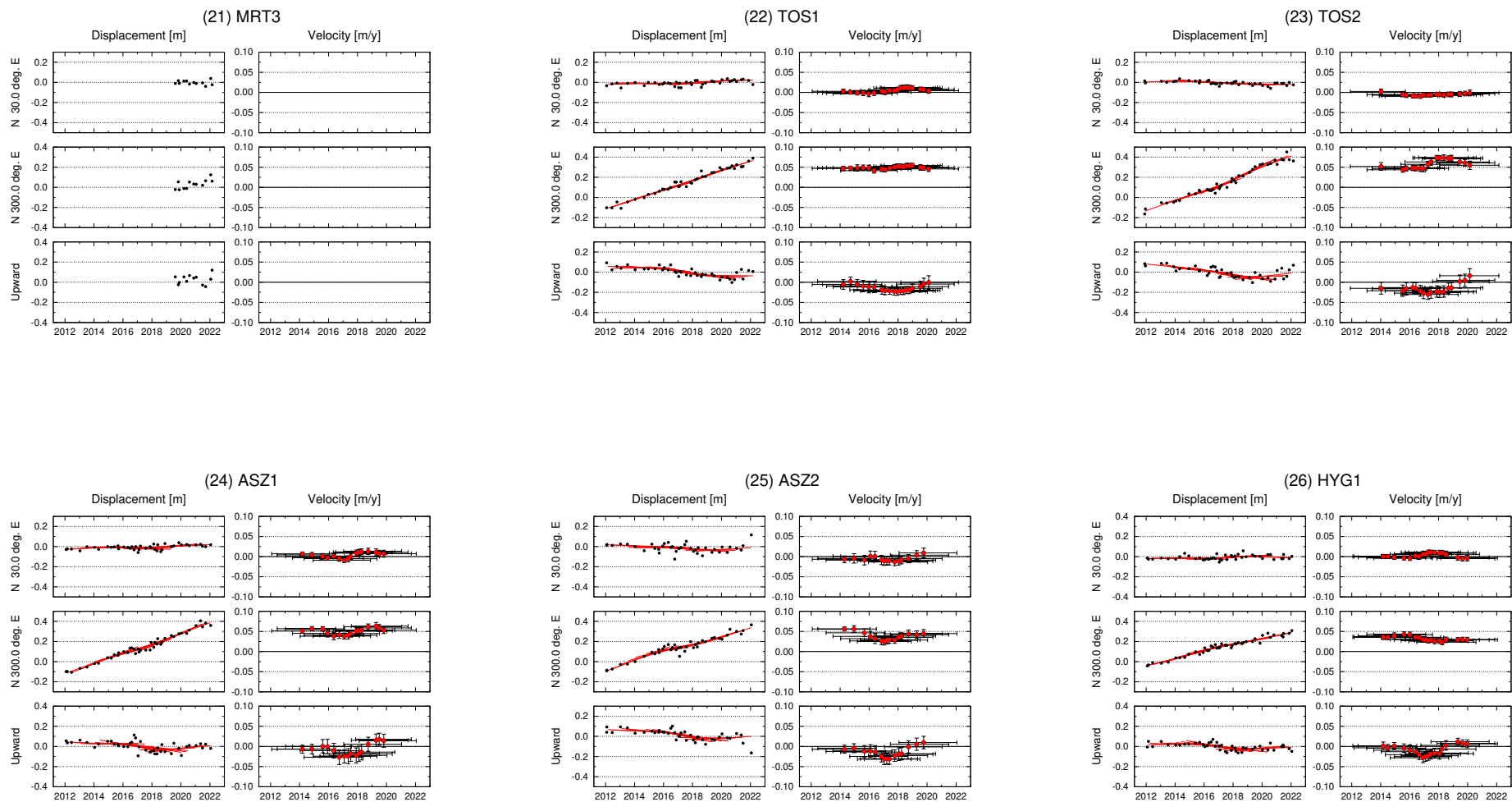
第 2 図 GNSS-A 観測時系列【アムールプレート固定】.

※各図の右列は、4.1 年の時間窓による回帰直線から求めた変動速度.

※縦のバーは速度推定の 95% 信頼区間、横のバーは速度推定のデータ期間.

※水平成分の座標軸は北から時計回りに 300° 回転.

Fig. 2 GNSS-A time series data with respect to the stable part of the Amur plate (continued).



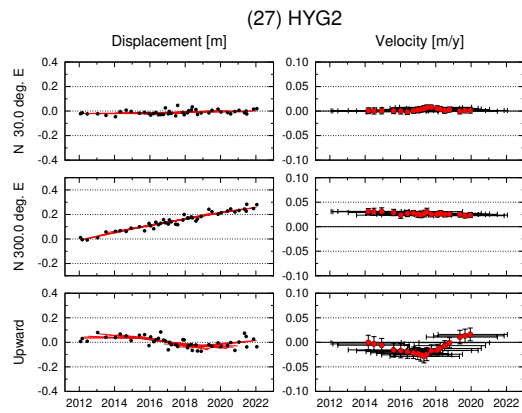
第 2 図 GNSS-A 観測時系列【アムールプレート固定】.

※各図の右列は、4.1 年の時間窓による回帰直線から求めた変動速度.

※縦のバーは速度推定の 95% 信頼区間、横のバーは速度推定のデータ期間.

※水平成分の座標軸は北から時計回りに 300° 回転.

Fig. 2 GNSS-A time series data with respect to the stable part of the Amur plate (continued).



第 2 図 GNSS-A 観測時系列【アムールプレート固定】.
※各図の右列は、4.1 年の時間窓による回帰直線から求めた変動速度.
※縦のバーは速度推定の 95% 信頼区間、横のバーは速度推定のデータ期間.
※水平成分の座標軸は北から時計回りに 300° 回転.
Fig. 2 GNSS-A time series data with respect to the stable part of the Amur plate (continued).